

УДК 519.6: 532.5

## Вычисление поля давления по полю скорости в гидродинамической задаче для прямоугольной каверны

Волосова Н.К., аспирант  
Басараб М.А., профессор, д.ф. - м.н.  
Московский государственный технический университет МГТУ им. Н.Э. Баумана  
Волосов К.А., профессор, д.ф. - м.н.  
Волосова А.К., к.ф.- м.н.  
МИИТ, г. Москва;  
Пастухов Д.Ф., к. ф.-м. н., доц.  
Пастухов Ю.Ф., к. ф.-м. н., доц.  
Полоцкий государственный университет

**Аннотация.** Рассматривается гидродинамическая задача для прямоугольной каверны в диапазоне чисел Рейнольдса 1000–600. Показано, что алгоритм решения задачи в явном виде, не содержащим поля давления, может иметь гладкий профиль скорости на верхнем отрезке, построенном из кубических сплайнов. Описан алгоритм вычисления поля давления по системе уравнений Навье – Стокса. Получено, что вторичный нижний левый вихрь при уменьшении числа Рейнольдса деформируется, приобретает эллиптическую форму, дробится и диссипирует. Все разностные производные по координатам в задаче построены с 4 порядком погрешности.

**Ключевые слова:** плоская прямоугольная каверна, гидродинамическая задача, уравнения Навье–Стокса

## Calculation of the pressure field from the velocity field in the hydrodynamic problem for a rectangular cavity

Volosova N.K., Basarab M.A., Volosov K.A., Volosova A.K., Pastuhov D.F., Pastuhov YU.F.

**Введение.** Рассматривается задача интегрирования поля давления по полученному полю скоростей в гидродинамической задаче для прямоугольной каверны. Она является продолжением работ [1],[3],[4],[14],[15],[16]. Изучена динамика вторичных вихрей в диапазоне чисел Рейнольдса и вопросы гидродинамической устойчивости [6]–[14]. Результаты сравниваются с известной работой Фомина А.А., Фоминой Л.Н [5].

**Постановка задачи.** Рассмотрим классическую гидродинамическую задачу в прямоугольной области с системой уравнений в частных производных и начальными и краевыми условиями для физических полей [2],[1]. Обозначим  $(u(x, y), v(x, y))$  вектор скорости жидкой частицы. Начало прямоугольной системы координат расположим в нижнем левом угле прямоугольника, направим ось  $y$ -вверх, ось  $x$ -вправо.

$$\begin{cases} \psi_{xx} + \psi_{yy} = -w(x, y), & 0 < x < L, \quad 0 < y < R, \\ w = v_x - u_y, \\ u = \psi_y; v = -\psi_x, \\ w_t + u \cdot w_x + v \cdot w_y = \nu(w_{xx} + w_{yy}), \\ \psi|_{\Gamma} \equiv 0, \Gamma \equiv (x=0, 0 \leq y \leq R) \cup (x=L, 0 \leq y \leq R) \cup (0 \leq x \leq L, y=0) \cup (0 \leq x \leq L, y=R), \\ v|_{\Gamma} \equiv 0, \\ u|_{\Gamma_1} = 0, \Gamma_1 = (x=0, 0 \leq y \leq R) \cup (x=L, 0 \leq y \leq R) \cup (0 \leq x \leq L, y=0), u|_{\Gamma \setminus \Gamma_1} = u_{\max} \end{cases} \quad (1)$$

Отдельно рассмотрим 2 компоненты уравнения Навье–Стокса

$$\begin{cases} u_t + u \cdot u_x + v \cdot u_y = -\frac{1}{\rho} p_x + \nu(u_{xx} + u_{yy}), & 0 < x < L, 0 < y < R \\ v_t + u \cdot v_x + v \cdot v_y = -\frac{1}{\rho} p_y + \nu(v_{xx} + v_{yy}) \end{cases} \quad (2)$$

Где в системе уравнений (1) обозначена  $w = v_x - u_y$  - функция вихря,  $\psi(x, y)$  - функция тока, определяющая поле скоростей формулой  $u = \psi_y; v = -\psi_x, \psi|_{\Gamma} \equiv 0$ . Вертикальная компонента скорости на границе каверны отсутствует  $v|_{\Gamma} \equiv 0$ , а горизонтальная имеет заданное распределение  $u_0(x)$  на верхней стороне прямоугольника и направлена направо, а на остальной части границы равна нулю (условие прилипания). Для

инициализации задачи(1) необходимо задать начальные физические поля (достаточно задать начальное поле горизонтальной и вертикальной компонент скорости), а также связь граничных значений вихря с приграничными значениями функции тока и крайевыми значениями скорости. В системе уравнений (2)  $\rho, \nu$  - плотность воды и ее кинематическая вязкость,  $\bar{p}_x, \bar{p}_y$  горизонтальная и вертикальная компоненты градиента давления. Как было показано в работе[2], систему уравнений(1) можно решить независимо от системы(2), хотя 4-ое уравнение динамики вихря из(1) получено с учетом обоих уравнений(2).

Преобразуем системы уравнений (1) и (2), введя безразмерные переменные

$$\left\{ \begin{array}{l} \bar{\psi}_{\bar{x}\bar{x}} + \bar{\psi}_{\bar{y}\bar{y}} = -\bar{w}(\bar{x}, \bar{y}), \quad 0 < \bar{x} = \frac{x}{L} < 1, \quad 0 < \bar{y} = \frac{y}{L} < k = \frac{R}{L}, \quad \bar{\psi} = \frac{\psi}{\psi_{\max}}, \quad \psi_{\max} = Lu_{\max} \\ \bar{w} = \bar{v}_x - \bar{u}_y, \quad \bar{u} = \frac{u}{u_{\max}}, \quad \bar{v} = \frac{v}{u_{\max}}, \quad \bar{w} = \frac{w}{w_{\max}}, \quad w_{\max} = \frac{u_{\max}}{L} \\ \bar{u} = \bar{\psi}_{\bar{y}}; \bar{v} = -\bar{\psi}_{\bar{x}}, \\ \bar{w}_t + \bar{u} \cdot \bar{w}_x + \bar{v} \cdot \bar{w}_y = \frac{1}{\text{Re}} (\bar{w}_{\bar{x}\bar{x}} + \bar{w}_{\bar{y}\bar{y}}), \quad 0 < \bar{t} = \frac{t}{T}, \quad T = \frac{L}{u_{\max}}, \quad \text{Re} = \frac{u_{\max} L}{\nu} \\ \bar{\psi}|_{\Gamma} \equiv 0, \bar{v}|_{\Gamma} \equiv 0, \bar{u}|_{\Gamma_1} = 0, \bar{u}|_{\Gamma \setminus \Gamma_1} = 1 \\ \bar{u}_t + \bar{u} \cdot \bar{u}_x + \bar{v} \cdot \bar{u}_y = -\bar{p}_x + \frac{1}{\text{Re}} (\bar{u}_{\bar{x}\bar{x}} + \bar{u}_{\bar{y}\bar{y}}), \quad 0 < \bar{x} < 1, 0 < \bar{y} < R/L = k, \quad \bar{p} = p/(\rho u_{\max}^2) \\ \bar{v}_t + \bar{u} \cdot \bar{v}_x + \bar{v} \cdot \bar{v}_y = -\bar{p}_y + \frac{1}{\text{Re}} (\bar{v}_{\bar{x}\bar{x}} + \bar{v}_{\bar{y}\bar{y}}), \quad 0 < \bar{u} = u/u_{\max} \leq 1, \bar{v} = v/u_{\max} \end{array} \right. \quad (3)$$

В дальнейшем штрихи над переменными и функциями в задаче(3),(4) из соображения удобства опускаем.  $k=1$  если прямоугольник-квадрат. Опишем численный алгоритм решения задачи(2).

### 1.Инициализация.

Зададим гладкий профиль скорости, в отличие от профиля в работе[1] с 2 точками излома первой производной, кубическими сплайнами на краях верхней стороны прямоугольной каверны по непрерывности формулой

$$u(x, k) \equiv u_0(x) = \begin{cases} -2\left(\frac{x}{\tau}\right)^3 + 3\left(\frac{x}{\tau}\right)^2, & 0 \leq x \leq \tau, \\ 1, & \tau \leq x \leq 1 - \tau, \\ -2\left(\frac{1-x}{\tau}\right)^3 + 3\left(\frac{1-x}{\tau}\right)^2, & 1 - \tau \leq x \leq 1, \end{cases} \quad (5)$$

В граничных точках сплайнов  $x=0, \tau, 1$  имеем

$$u_0(0) = u_0'(0) = u_0'(\tau) = u_0'(1 - \tau) = u_0'(1) = u_0(0) = 0, u_0(\tau) = u_0(1 - \tau) = 1.$$

Начальное поле горизонтальной скорости определим ее профилем на верхнем отрезке прямоугольника  $u_0(x)$ , которое линейно уменьшается до нуля на его нижнем отрезке  $y=0$ . Поле скорости в формуле(5)

изменяет знак в интервале  $0 \leq y_m \leq 1$ .

$$u(x_n, y_m) = -u_0(x_n) \left(\frac{y_m}{k}\right) \sin\left(\frac{3\pi y_m}{2k}\right), \quad x_n = nh_1, \quad y_m = mh_2, \quad h_1 = \frac{1}{n_1}, \quad h_2 = \frac{k}{n_2}, \quad \tau = \frac{n_0}{n_1}. \quad (5)$$

Поскольку мы используем модель несжимаемой жидкости в прямоугольной кювете постоянной геометрической формы, то центр масс жидкости не перемещается по оси  $x$ . Однако для начального приближения потребуем, чтобы поле горизонтальной компоненты скорости  $u(x, y)$  хотя бы меняло знак по оси  $y$ . Найдем начальное поле вертикальной скорости несжимаемой жидкости, используя интегральную формулу трапеции

$$\begin{aligned} \frac{\partial u}{\partial x} + \frac{\partial v}{\partial y} = 0 &\Leftrightarrow v(x_n, y_m) = -\int_0^{y_m} \frac{\partial u}{\partial x}(x_n, y) dy \Leftrightarrow v(x_n, y_m) = -h_2 \left( \frac{1}{2} \frac{\partial u}{\partial x}(x_n, y_m) + \sum_{k=1}^{m-1} \frac{\partial u}{\partial x}(x_n, y_k) \right) = \\ &= -h_2 \left( \frac{1}{2} \frac{u(x_{n+1}, y_m) - u(x_{n-1}, y_m)}{2h_1} + \sum_{k=1}^{m-1} \frac{u(x_{n+1}, y_k) - u(x_{n-1}, y_k)}{2h_1} \right), \quad m = \overline{2, n_2 - 1}, \quad n = \overline{1, n_1 - 1} \end{aligned} \quad (6)$$

$$v(x_n, y_1) = -h_2 \frac{\partial u}{\partial x}(x_n, y_1), \quad n = \overline{1, n_1 - 1}$$

При интегрировании использовано условие прилипания жидкости на дне. Затем инициализируем поле вихря во внутренних точках по начальному полю скоростей (со вторым порядком погрешности).

$$w = v_x - u_y \Leftrightarrow w(x_n, y_m) = \frac{v(x_{n+1}, y_m) - v(x_{n-1}, y_m)}{2h_1} - \frac{v(x_n, y_{m+1}) - v(x_n, y_{m-1})}{2h_2}, n = \overline{1, n_1 - 1}, m = \overline{1, n_2 - 1} \quad (7)$$

Из работ [1],[3],[4] используем формулу аппроксимации уравнения Пуассона на 9-точечном симметричном шаблоне с четвертым порядком погрешности  $O(h^4)$

$$\frac{1}{h^2} \left( \frac{-10}{3} u_{m,n} + \frac{2}{3} (u_{m-1,n} + u_{m+1,n} + u_{m,n-1} + u_{m,n+1}) + \frac{1}{6} (u_{m-1,n-1} + u_{m+1,n-1} + u_{m-1,n+1} + u_{m+1,n+1}) \right) = f_{m,n} + \frac{h^2}{12h^2} (f_{m-1,n} + f_{m,n-1} + f_{m+1,n} + f_{m,n+1} - 4f_{m,n}) \Leftrightarrow$$

$$\Leftrightarrow \left( \frac{-10}{3} u_{m,n} + \frac{2}{3} (u_{m-1,n} + u_{m+1,n} + u_{m,n-1} + u_{m,n+1}) + \frac{1}{6} (u_{m-1,n-1} + u_{m+1,n-1} + u_{m-1,n+1} + u_{m+1,n+1}) \right) = \frac{h^2}{12} (f_{m-1,n} + f_{m,n-1} + f_{m+1,n} + f_{m,n+1} + 8f_{m,n}) \quad (8)$$

Для решения Пуассона  $\psi_{xx} + \psi_{yy} = -w(x, y)$  за конечное число элементарных операций матричным методом [3],[4] нужно модифицировать его правую часть в 4 угловых узлах

$$\left\{ \begin{array}{l} \frac{-10}{3} \psi_{1,n_1-1} + \frac{2}{3} (\psi_{2,n_1-1} + \psi_{1,n_1-2} + \psi_{1,n_1} + \psi_{0,n_1-1}) + \frac{1}{6} (\psi_{2,n_1-2} + \psi_{0,n_1-2} + \psi_{2,n_1} + \psi_{0,n_1}) = \frac{-h^2}{12} (8w_{1,n_1-1} + w_{0,n_1-1} + w_{2,n_1-1} + w_{1,n_1-2} + w_{1,n_1}) \\ w_{1,n_1-1} \equiv \frac{-h^2}{12} (8w_{1,n_1-1} + w_{0,n_1-1} + w_{2,n_1-1} + w_{1,n_1-2} + w_{1,n_1}) - \frac{2}{3} (\psi_{1,n_1} + \psi_{0,n_1-1}) - \frac{1}{6} (\psi_{0,n_1-2} + \psi_{2,n_1} + \psi_{0,n_1}) \\ \frac{-10}{3} \psi_{n_2-1,1} + \frac{2}{3} (\psi_{n_2-2,1} + \psi_{n_2-1,2} + \psi_{n_2-1,0} + \psi_{n_2,1}) + \frac{1}{6} (\psi_{n_2-2,2} + \psi_{n_2,2} + \psi_{n_2-2,0} + \psi_{n_2,0}) = \frac{-h^2}{12} (8w_{n_2-1,1} + w_{n_2,1} + w_{n_2-2,1} + w_{n_2-1,0} + w_{n_2-1,2}) \\ w_{n_2-1,1} \equiv \frac{-h^2}{12} (8w_{n_2-1,1} + w_{n_2,1} + w_{n_2-2,1} + w_{n_2-1,0} + w_{n_2-1,2}) - \frac{2}{3} (\psi_{n_2-1,0} + \psi_{n_2,1}) - \frac{1}{6} (\psi_{n_2,2} + \psi_{n_2-2,0} + \psi_{n_2,0}) \\ \frac{-10}{3} \psi_{n_2-1,n_1-1} + \frac{2}{3} (\psi_{n_2-2,n_1-1} + \psi_{n_2-1,n_1-2} + \psi_{n_2-1,n_1} + \psi_{n_2,n_1-1}) + \frac{1}{6} (\psi_{n_2-2,n_1-2} + \psi_{n_2,n_1-2} + \psi_{n_2-2,n_1} + \psi_{n_2,n_1}) = \frac{-h^2}{12} (8w_{n_2-1,n_1-1} + w_{n_2,n_1-1} + w_{n_2-2,n_1-1} + w_{n_2-1,n_1} + w_{n_2-1,n_1-2}) \\ w_{n_2-1,n_1-1} \equiv \frac{-h^2}{12} (8w_{n_2-1,n_1-1} + w_{n_2,n_1-1} + w_{n_2-2,n_1-1} + w_{n_2-1,n_1} + w_{n_2-1,n_1-2}) - \frac{2}{3} (\psi_{n_2-1,n_1} + \psi_{n_2,n_1-1}) - \frac{1}{6} (\psi_{n_2,n_1-2} + \psi_{n_2-2,n_1} + \psi_{n_2,n_1}) \\ \frac{-10}{3} \psi_{1,1} + \frac{2}{3} (\psi_{2,1} + \psi_{1,2} + \psi_{1,0} + \psi_{0,1}) + \frac{1}{6} (\psi_{2,2} + \psi_{0,2} + \psi_{2,0} + \psi_{0,0}) = \frac{-h^2}{12} (8w_{1,1} + w_{0,1} + w_{2,1} + w_{1,0} + w_{1,2}) \\ w_{1,1} \equiv \frac{-h^2}{12} (8w_{1,1} + w_{0,1} + w_{2,1} + w_{1,0} + w_{1,2}) - \frac{2}{3} (\psi_{1,0} + \psi_{0,1}) - \frac{1}{6} (\psi_{0,2} + \psi_{2,0} + \psi_{0,0}) \end{array} \right. \quad (9)$$

И в граничных узлах, расположенных на 4 граничных отрезках

$$\left\{ \begin{array}{l} \frac{-10}{3} \psi_{1,n} + \frac{2}{3} (\psi_{1,n-1} + \psi_{2,n} + \psi_{1,n+1} + \psi_{0,n}) + \frac{1}{6} (\psi_{2,n-1} + \psi_{2,n+1} + \psi_{0,n-1} + \psi_{0,n+1}) = \frac{-h^2}{12} (8w_{1,n} + w_{0,n} + w_{2,n} + w_{1,n-1} + w_{1,n+1}) \\ w_{1,n} = -\frac{h^2}{12} (8w_{1,n} + w_{0,n} + w_{2,n} + w_{1,n-1} + w_{1,n+1}) - \frac{2}{3} \psi_{0,n} - \frac{1}{6} (\psi_{0,n-1} + \psi_{0,n+1}), n = \overline{2, n_1 - 2} \\ \frac{-10}{3} \psi_{n_2-1,n} + \frac{2}{3} (\psi_{n_2-1,n-1} + \psi_{n_2-2,n} + \psi_{n_2-1,n+1} + \psi_{n_2,n}) + \frac{1}{6} (\psi_{n_2-2,n-1} + \psi_{n_2-2,n+1} + \psi_{n_2,n-1} + \psi_{n_2,n+1}) = \frac{-h^2}{12} (8w_{n_2-1,n} + w_{n_2,n} + w_{n_2-2,n} + w_{n_2-1,n-1} + w_{n_2-1,n+1}) \\ w_{n_2-1,n} = -\frac{h^2}{12} (8w_{n_2-1,n} + w_{n_2,n} + w_{n_2-2,n} + w_{n_2-1,n-1} + w_{n_2-1,n+1}) - \frac{2}{3} \psi_{n_2,n} - \frac{1}{6} (\psi_{n_2,n-1} + \psi_{n_2,n+1}), n = \overline{2, n_1 - 2} \\ \frac{-10}{3} \psi_{m,1} + \frac{2}{3} (\psi_{m-1,1} + \psi_{m,2} + \psi_{m+1,1} + \psi_{m,0}) + \frac{1}{6} (\psi_{m-1,2} + \psi_{m+1,2} + \psi_{m-1,0} + \psi_{m+1,0}) = \frac{-h^2}{12} (8w_{m,1} + w_{m-1,1} + w_{m+1,1} + w_{m,0} + w_{m,2}) \\ w_{m,1} = -\frac{h^2}{12} (8w_{m,1} + w_{m-1,1} + w_{m+1,1} + w_{m,0} + w_{m,2}) - \frac{2}{3} \psi_{m,0} - \frac{1}{6} (\psi_{m-1,0} + \psi_{m+1,0}), m = \overline{2, n_2 - 2} \\ \frac{-10}{3} \psi_{m,n_1-1} + \frac{2}{3} (\psi_{m-1,n_1-1} + \psi_{m,n_1-2} + \psi_{m+1,n_1-1} + \psi_{m,n_1}) + \frac{1}{6} (\psi_{m-1,n_1-2} + \psi_{m+1,n_1-2} + \psi_{m-1,n_1} + \psi_{m+1,n_1}) = \frac{-h^2}{12} (8w_{m,n_1-1} + w_{m-1,n_1-1} + w_{m+1,n_1-1} + w_{m,n_1-2} + w_{m,n_1}) \\ w_{m,n_1-1} = -\frac{h^2}{12} (8w_{m,n_1-1} + w_{m-1,n_1-1} + w_{m+1,n_1-1} + w_{m,n_1-2} + w_{m,n_1}) - \frac{2}{3} \psi_{m,n_1} - \frac{1}{6} (\psi_{m-1,n_1} + \psi_{m+1,n_1}), m = \overline{2, n_2 - 2} \\ w_{m,n} = -\frac{h^2}{12} (8w_{m,n} + w_{m-1,n} + w_{m+1,n} + w_{m,n-1} + w_{m,n+1}) \quad \forall m \in \overline{2, n_2 - 2}, n \in \overline{2, n_1 - 2} \end{array} \right. \quad (10)$$

Далее находим поле функции тока согласно работам [1],[3],[4] то есть матричные коэффициенты прогонки вперед

$$\psi_1^T = -A^{-1} B \psi_2^T + A^{-1} \overline{w_1^T} \Leftrightarrow \lambda_1 = -A^{-1} B, v_1 = A^{-1} \overline{w_1^T}, \quad (11)$$

$$\text{где } a_{m,n} = \begin{cases} -\frac{10}{3}, m = n; \overline{m = 1, n_1 - 1}, \overline{n = 1, n_1 - 1} \\ \frac{2}{3}, m = n + 1 \vee m = n - 1 \\ 0, m \geq n + 2 \vee m \leq n - 2 \end{cases}, \quad b_{m,n} = \begin{cases} \frac{2}{3}, m = n; \overline{m = 1, n_1 - 1}, \overline{n = 1, n_1 - 1} \\ \frac{1}{6}, m = n + 1 \vee m = n - 1 \\ 0, m \geq n + 2 \vee m \leq n - 2 \end{cases} \quad (12)$$

$$\lambda_m = -(B\lambda_{m-1} + A)^{-1}B, v_m = (B\lambda_{m-1} + A)^{-1}(\overline{w_m^T} - Bv_{m-1}), m = \overline{2, n_2 - 2} \quad (13)$$

Находим предпоследнюю строку матрицы поля функции тока

$$\overline{\psi_{n_2-1}^T} = (B\lambda_{n_2-2} + A)^{-1}(\overline{w_{n_2-1}^T} - Bv_{n_2-2}) \quad (14)$$

Найдем все остальные строки матрицы поля функции тока по формулам прогонки назад

$$\overline{\psi_m^T} = \lambda_m \overline{\psi_{m+1}^T} + v_m, m = \overline{n_2 - 2, 1} \quad (15)$$

Итак, все начальные поля получены. Переходим к циклу.

## 2. Описание циклической части алгоритма

1. Задать краевые условия для полей

$$\overline{\psi_{0,n}^k} = \overline{\psi_{n_2,n}^k} = \overline{\psi_{m,0}^k} = \overline{\psi_{m,n_1}^k} = 0, n = \overline{0, n_1}, m = \overline{0, n_2}, \overline{v_{0,n}^k} = \overline{v_{n_2,n}^k} = \overline{v_{m,0}^k} = \overline{v_{m,n_1}^k} = 0, n = \overline{0, n_1}, m = \overline{0, n_2}$$

$$\overline{u_{0,n}^k} = \overline{u_{m,0}^k} = \overline{u_{m,n_1}^k} = 0, \overline{u_{n_2,n}^k} = \overline{u_0(n)}, n = \overline{0, n_1}, m = \overline{0, n_2}$$

2. Модифицировать правую часть уравнения Пуассона для функции вихря  $\overline{w_{m,n}^k}$  по формулам (9),(10).

Решить уравнение Пуассона, или найти поле функции тока  $\overline{\psi_{m,n}^{k+1}}$  во внутренних точках по формулам (11)-(15).

3. Найти поле скорости на следующем временном шаге во внутренних точках  $\overline{u_{x,n}^{k+1}} \equiv \overline{u_{m,n}^{k+1}}, \overline{v_{m,n}^{k+1}}, m = \overline{1, n_2 - 1}, n = \overline{1, n_1 - 1}$  по формулам (16),(17)

$$\overline{v} = -\overline{\psi_x} \Leftrightarrow \overline{v_{m,n}^{k+1}} = -\left( \frac{8(\overline{\psi_{m,n+1}^{k+1}} - \overline{\psi_{m,n-1}^{k+1}}) - (\overline{\psi_{m,n+2}^{k+1}} - \overline{\psi_{m,n-2}^{k+1}})}{12h_1} \right), m = \overline{1, n_2 - 1}, n = \overline{2, n_1 - 2}$$

$$\left\{ \begin{aligned} \overline{v_{m,1}^{k+1}} &= -\frac{1}{h_1} \left( -\frac{1}{4}\overline{\psi_{m,0}^{k+1}} - \frac{5}{6}\overline{\psi_{m,1}^{k+1}} + \frac{3}{2}\overline{\psi_{m,2}^{k+1}} - \frac{1}{2}\overline{\psi_{m,3}^{k+1}} + \frac{1}{12}\overline{\psi_{m,4}^{k+1}} \right) \\ \overline{v_{m,n_1-1}^{k+1}} &= \frac{1}{h_1} \left( -\frac{1}{4}\overline{\psi_{m,n_1}^{k+1}} - \frac{5}{6}\overline{\psi_{m,n_1-1}^{k+1}} + \frac{3}{2}\overline{\psi_{m,n_1-2}^{k+1}} - \frac{1}{2}\overline{\psi_{m,n_1-3}^{k+1}} + \frac{1}{12}\overline{\psi_{m,n_1-4}^{k+1}} \right) \end{aligned} \right. m = \overline{1, n_2 - 1} \quad (16)$$

$$\overline{u} = \overline{\psi_y} \Leftrightarrow \overline{u_{m,n}^{k+1}} = \frac{8(\overline{\psi_{m+1,n}^{k+1}} - \overline{\psi_{m-1,n}^{k+1}}) - (\overline{\psi_{m+2,n}^{k+1}} - \overline{\psi_{m-2,n}^{k+1}})}{12h_2}, m = \overline{2, n_2 - 2}, n = \overline{1, n_1 - 1}$$

$$\left\{ \begin{aligned} \overline{u_{1,n}^{k+1}} &= \frac{1}{h_2} \left( -\frac{1}{4}\overline{\psi_{0,n}^{k+1}} - \frac{5}{6}\overline{\psi_{1,n}^{k+1}} + \frac{3}{2}\overline{\psi_{2,n}^{k+1}} - \frac{1}{2}\overline{\psi_{3,n}^{k+1}} + \frac{1}{12}\overline{\psi_{4,n}^{k+1}} \right) \\ \overline{u_{n_2-1,n}^{k+1}} &= -\frac{1}{h_2} \left( -\frac{1}{4}\overline{\psi_{n_1,n}^{k+1}} - \frac{5}{6}\overline{\psi_{n_1-1,n}^{k+1}} + \frac{3}{2}\overline{\psi_{n_1-2,n}^{k+1}} - \frac{1}{2}\overline{\psi_{n_1-3,n}^{k+1}} + \frac{1}{12}\overline{\psi_{n_1-4,n}^{k+1}} \right) \end{aligned} \right. n = \overline{1, n_1 - 1} \quad (17)$$

Формулы(16),(17) имеют четвертый порядок аппроксимации во всех внутренних узлах, а разбиение этого множества внутренних узлов на области (квадрат на прямоугольник и 2 параллельных отрезка его большим сторонам) в (16),(17) является наиболее оптимальным. В то время как в работе[1] в пункте 3 алгоритма поле скорости имело второй порядок погрешности.

4. Найти граничные значения функции вихря в граничных точках согласно[2] со вторым порядком точности

$$\left\{ \begin{aligned} \overline{w_{m,0}^{k+1}} &= \frac{7\overline{\psi_{m,0}^{k+1}} - 8\overline{\psi_{m,1}^{k+1}} + \overline{\psi_{m,2}^{k+1}} - 3\overline{v_{m,0}^{k+1}}}{2h_1^2}, m = \overline{1, n_2 - 1} \\ \overline{w_{m,n_1}^{k+1}} &= \frac{7\overline{\psi_{m,n_1}^{k+1}} - 8\overline{\psi_{m,n_1-1}^{k+1}} + \overline{\psi_{m,n_1-2}^{k+1}} + 3\overline{v_{m,n_1}^{k+1}}}{2h_1^2}, m = \overline{1, n_2 - 1} \\ \overline{w_{0,n}^{k+1}} &= \frac{7\overline{\psi_{0,n}^{k+1}} - 8\overline{\psi_{1,n}^{k+1}} + \overline{\psi_{2,n}^{k+1}} + 3\overline{u_{0,n}^{k+1}}}{2h_2^2}, n = \overline{1, n_1 - 1} \\ \overline{w_{n_2,n}^{k+1}} &= \frac{7\overline{\psi_{n_2,n}^{k+1}} - 8\overline{\psi_{n_2-1,n}^{k+1}} + \overline{\psi_{n_2-2,n}^{k+1}} - 3\overline{u_{n_2,n}^{k+1}}}{2h_2^2}, n = \overline{1, n_1 - 1} \\ \overline{w_{0,0}^{k+1}} &= \frac{\overline{w_{0,1}^{k+1}} + \overline{w_{1,0}^{k+1}}}{2}, \overline{w_{n_2,0}^{k+1}} = \frac{\overline{w_{n_2,1}^{k+1}} + \overline{w_{n_2-1,0}^{k+1}}}{2}, \overline{w_{0,n_1}^{k+1}} = \frac{\overline{w_{0,n_1-1}^{k+1}} + \overline{w_{1,n_1}^{k+1}}}{2}, \overline{w_{n_2,n_1}^{k+1}} = \frac{\overline{w_{n_2,n_1-1}^{k+1}} + \overline{w_{n_2-1,n_1}^{k+1}}}{2} \end{aligned} \right. \quad (18)$$

Формулы(18) дают второй порядок погрешности аппроксимации[1], [2].

Имея поле вихря в граничных точках, можно решить параболическое уравнение динамики вихря  $w^{k+1}_{m,n}$  на следующем временном слое  $k+1$  во внутренних точках  $n = \overline{1, n_1 - 1}, m = \overline{1, n_2 - 1}$ .

$$5. w_t + v \cdot w_x + u \cdot w_y = \frac{1}{\text{Re}} (w_{xx} + w_{yy}) \Leftrightarrow w^{k+1}_{m,n} = w^k_{m,n} + \frac{\tau}{\text{Re} \cdot h^2} \left( -\frac{10}{3} w^k_{m,n} + \frac{2}{3} (w^k_{m-1,n} + w^k_{m+1,n} + w^k_{m,n-1} + w^k_{m,n+1}) + \frac{1}{6} (w^k_{m-1,n-1} + w^k_{m-1,n+1} + w^k_{m+1,n-1} + w^k_{m+1,n+1}) \right) - \tau (u^{k+1}_{m,n} \cdot w^k_{m,n} + v^{k+1}_{m,n} \cdot w^k_{m,n}) \quad (19)$$

Где первые производные функции вихря в формуле(19) определяются формулами с 4-м порядком погрешности

$$w^k_{m,n} = \begin{cases} \frac{1}{12h} (w^k_{m,n-2} - w^k_{m,n+2} + 8(w^k_{m,n+1} - w^k_{m,n-1})) + O(h^4), m = \overline{1, n_2 - 1}, n = \overline{2, n_1 - 2} \\ \frac{1}{h} \left( \frac{-1}{4} w^k_{m,0} - \frac{5}{6} w^k_{m,1} + \frac{3}{2} w^k_{m,2} + \frac{1}{2} w^k_{m,3} + \frac{1}{12} w^k_{m,4} \right) + O(h^4), m = \overline{1, n_2 - 1}, n = 1 \\ -\frac{1}{h} \left( \frac{-1}{4} w^k_{m,n,1} - \frac{5}{6} w^k_{m,n,1-1} + \frac{3}{2} w^k_{m,n,1-2} + \frac{1}{2} w^k_{m,n,1-3} + \frac{1}{12} w^k_{m,n,1-4} \right) + O(h^4), m = \overline{1, n_2 - 1}, n = n_1 - 1 \\ \frac{1}{12h} (w^k_{m-2,n} - w^k_{m+2,n} + 8(w^k_{m+1,n} - w^k_{m-1,n})) + O(h^4), m = \overline{2, n_2 - 2}, n = \overline{1, n_1 - 1} \\ \frac{1}{h} \left( \frac{-1}{4} w^k_{0,n} - \frac{5}{6} w^k_{1,n} + \frac{3}{2} w^k_{2,n} + \frac{1}{2} w^k_{3,n} + \frac{1}{12} w^k_{4,n} \right) + O(h^4), n = \overline{1, n_1 - 1}, m = 1 \\ -\frac{1}{h} \left( \frac{-1}{4} w^k_{n2,n} - \frac{5}{6} w^k_{n2-1,n} + \frac{3}{2} w^k_{n2-2,n} + \frac{1}{2} w^k_{n2-3,n} + \frac{1}{12} w^k_{n2-4,n} \right) + O(h^4), n = \overline{1, n_1 - 1}, m = n_2 - 1 \end{cases} \quad (20)$$

Формулы(20) также оптимально используют деление внутренних точек квадрата на прямоугольник и 2 параллельных большим сторонам отрезков.

Для устойчивого интегрирования уравнения(19) нужно использовать достаточно малый временной шаг  $\tau \leq \frac{\text{Re} \cdot h^2}{4}$  [2], мы использовали шаг  $\tau = \frac{\text{Re} \cdot h^2}{100}$  и 5000 интервалов в цикле на сетке  $n_1 = n_2 = 100$ .

6. Наконец, новому индексу поля вихря нужно присвоить старый индекс и перейти к пункту 1 цикла.

$$w^{k+1}_{m,n} \rightarrow w^k_{m,n}, k \rightarrow k + 1, m = \overline{0, n_2}, n = \overline{0, n_1}, k = 0, n_0 - 1$$

Итак, на всех этапах цикла все производные имеют точность  $O(h^4)$ , кроме формулы(18) для граничных значений вихря  $O(h^2)$ . Кроме того уравнение динамики вихря (19) имеет точность первого порядка по времени или второй порядок[2] погрешности по координате  $O(\tau) = O(h^2)$ .

Можно предположить, что порядок аппроксимация задачи заключен между  $O(h^2)$  и  $O(h^4)$ . В работе [1] как и в данной работе для построения поля линий тока по полю скорости использовалась линейная аппроксимация его значений в любой точке по значениям скорости в 4 узловых точках окружающих данную точку  $(x_n, y_m), (x_{n+1}, y_m), (x_n, y_{m+1}), (x_{n+1}, y_{m+1}), x_n \leq x \leq x_{n+1}, y_m \leq y \leq y_{m+1}$ .

$$\begin{cases} u(x, y) = \left( u_{m,n} \frac{(x_{n+1} - x)}{h_1} + u_{m,n+1} \frac{(x - x_n)}{h_1} \right) \frac{(y_{m+1} - y)}{h_2} + \left( u_{m+1,n} \frac{(x_{n+1} - x)}{h_1} + u_{m+1,n+1} \frac{(x - x_n)}{h_1} \right) \frac{(y - y_m)}{h_2} \\ v(x, y) = \left( v_{m,n} \frac{(x_{n+1} - x)}{h_1} + v_{m,n+1} \frac{(x - x_n)}{h_1} \right) \frac{(y_{m+1} - y)}{h_2} + \left( v_{m+1,n} \frac{(x_{n+1} - x)}{h_1} + v_{m+1,n+1} \frac{(x - x_n)}{h_1} \right) \frac{(y - y_m)}{h_2} \end{cases} \quad (21)$$

Дифференциал дуги линии тока определяется по найденному полю скоростей  $u^{n_0}(x_n, y_m) \equiv u^{n_0}_{m,n}, v^{n_0}_{m,n}, m = \overline{1, n_2 - 1}, n = \overline{1, n_1 - 1}$  на конечном временном слое  $n_0$  дифференциальным уравнением

$$\frac{dx}{u(x, y)} = \frac{dy}{v(x, y)} \quad (22)$$

Используя(21),(22), получим связь соседних точек линии тока ( $h_3$ -дифференциал дуги линии тока - геометрический шаг, который не связан с шагом основной равномерной сетки) по формуле

$$x^{l+1} = x^l + h_3 \frac{u(x, y)}{\sqrt{u(x, y)^2 + v(x, y)^2}}, y^{l+1} = y^l + h_3 \frac{v(x, y)}{\sqrt{u(x, y)^2 + v(x, y)^2}}, l = 1, 2, \dots \quad (23)$$

Рисунки поля линий тока получены программой с помощью формул(21),(22),(23).

Первые производные давления найдем из системы уравнений(4). Примем, что после всех вычислений по циклу алгоритмом 2)-6) можно считать физические поля скорости, давления, вихря стационарными, тогда из системы уравнений(4) имеем

$$\begin{cases}
 \bar{p}_x^- = -\bar{u} \cdot \bar{u}_x^- - \bar{v} \cdot \bar{u}_y^- + \frac{1}{\text{Re}} (\bar{u}_{xx}^- + \bar{u}_{yy}^-), 0 < \bar{x} < 1, 0 < \bar{y} < R/L = k, \bar{p} = p/(\rho u_{\max}^2) \\
 \bar{p}_y^- = -\bar{u} \cdot \bar{v}_x^- - \bar{v} \cdot \bar{v}_y^- + \frac{1}{\text{Re}} (\bar{v}_{xx}^- + \bar{v}_{yy}^-), 0 < \bar{u} = u/u_{\max} \leq 1, \bar{v} = v/u_{\max}
 \end{cases} \quad (24)$$

В формулах (24) дискретный оператор Лапласа с точностью  $O(h^4)$  для функций  $\bar{\Delta}u, \bar{\Delta}v$  имеет вид

$$\begin{cases}
 \bar{\Delta}u_{m,n} = \frac{1}{h^2} \left( \frac{-1^-}{3} u_{m,n} + \frac{2}{3} (\bar{u}_{m,n-1} + \bar{u}_{m,n+1} + \bar{u}_{m-1,n} + \bar{u}_{m+1,n}) + \frac{1}{6} (\bar{u}_{m-1,n-1} + \bar{u}_{m+1,n-1} + \bar{u}_{m-1,n+1} + \bar{u}_{m+1,n+1}) \right), m = \overline{1, n_2 - 1}, n = \overline{1, n_1 - 1} \\
 \bar{\Delta}u_{m,0} = \frac{1}{h^2} \left( \frac{15^-}{4} u_{m,0} - \frac{77^-}{6} u_{m,1} + \frac{107^-}{6} u_{m,2} - 13 \bar{u}_{m,3} + \frac{61^-}{12} u_{m,4} - \frac{5^-}{6} u_{m,5} \right), m = \overline{0, n_2}, n = 0 \\
 \bar{\Delta}u_{m,n_1} = \frac{1}{h^2} \left( \frac{15^-}{4} u_{m,n_1} - \frac{77^-}{6} u_{m,n_1-1} + \frac{107^-}{6} u_{m,n_1-2} - 13 \bar{u}_{m,n_1-3} + \frac{61^-}{12} u_{m,n_1-4} - \frac{5^-}{6} u_{m,n_1-5} \right), m = \overline{0, n_2}, n = n_1 \\
 \bar{\Delta}u_{0,n} = \frac{1}{h^2} \left( \frac{15^-}{4} u_{0,n} - \frac{77^-}{6} u_{1,n} + \frac{107^-}{6} u_{2,n} - 13 \bar{u}_{3,n} + \frac{61^-}{12} u_{4,n} - \frac{5^-}{6} u_{5,n} \right), n = \overline{0, n_1}, m = 0 \\
 \bar{\Delta}u_{n_2,n} = \frac{1}{h^2} \left( \frac{15^-}{4} u_{n_2,n} - \frac{77^-}{6} u_{n_2-1,n} + \frac{107^-}{6} u_{n_2-2,n} - 13 \bar{u}_{n_2-3,n} + \frac{61^-}{12} u_{n_2-4,n} - \frac{5^-}{6} u_{n_2-5,n} \right) + \\
 + \frac{1}{h^2} \left( -\frac{5^-}{2} \bar{u}_{n_2,n} + \frac{4}{3} (\bar{u}_{n_2,n+1} + \bar{u}_{n_2,n-1}) + \frac{1}{12} (\bar{u}_{n_2-2,n+2} + \bar{u}_{n_2-2,n-2}) \right), n = \overline{2, n_1 - 2}, m = n_2
 \end{cases} \quad (25)$$

Производные первого порядка в (24)  $\bar{u}_x^-, \bar{v}_y^-$  вычислены по формулам

$$\begin{cases}
 (\bar{u}_{m,n})_x = \frac{1}{h} \left( \frac{2}{3} (\bar{u}_{m,n+1} - \bar{u}_{m,n-1}) - \frac{1}{12} (\bar{u}_{m,n+2} - \bar{u}_{m,n-2}) \right), m = \overline{0, n_2}, n = \overline{2, n_1 - 2} \\
 (\bar{u}_{m,1})_x = \frac{1}{h} \left( -\frac{1^-}{4} u_{m,0} - \frac{5^-}{6} u_{m,1} + \frac{3^-}{2} u_{m,2} - \frac{1^-}{2} u_{m,3} + \frac{1^-}{12} u_{m,4} \right), m = \overline{0, n_2}, n = 1 \\
 (\bar{u}_{m,n_1-1})_x = -\frac{1}{h} \left( -\frac{1^-}{4} u_{m,n_1} - \frac{5^-}{6} u_{m,n_1-1} + \frac{3^-}{2} u_{m,n_1-2} - \frac{1^-}{2} u_{m,n_1-3} + \frac{1^-}{12} u_{m,n_1-4} \right), m = \overline{0, n_2}, n = n_1 - 1 \\
 (\bar{u}_{m,0})_x = \frac{1}{h} \left( -\frac{25^-}{12} u_{m,0} + 4 \bar{u}_{m,1} - 3 \bar{u}_{m,2} + \frac{4^-}{3} u_{m,3} - \frac{1^-}{4} u_{m,4} \right), m = \overline{0, n_2}, n = 0 \\
 (\bar{u}_{m,n_1})_x = -\frac{1}{h} \left( -\frac{25^-}{12} u_{m,n_1} + 4 \bar{u}_{m,n_1-1} - 3 \bar{u}_{m,n_1-2} + \frac{4^-}{3} u_{m,n_1-3} - \frac{1^-}{4} u_{m,n_1-4} \right), m = \overline{0, n_2}, n = n_1
 \end{cases} \quad (26)$$

Все дифференциальные операторы в(24),(25),(26) имеют точность  $O(h^4)$ .

Затем нужно проинтегрировать поле давления с помощью формулы Симпсона (давление интегрируется на узлы сетки с четными индексами (i,j)). Обозначим интегральные суммы по осям x, y ( $\bar{p}_x^-, \bar{p}_y^-$  находятся по(24)):

$$\begin{cases}
 I_x = \frac{h_1}{3} \left( \bar{p}_{x, \frac{n_1}{2}, \frac{n_2}{2}}^- + \bar{p}_{x, \frac{n_1}{2}, j}^- + 4 \sum_{s=1}^{k_1} \bar{p}_{x, \frac{n_1}{2}, \frac{n_2}{2} + 2s-1}^- + 2 \sum_{s=1}^{k_1-1} \bar{p}_{x, \frac{n_1}{2}, \frac{n_2}{2} + 2s}^- \right), k_1 = \left\lfloor \frac{j - \frac{n_1}{2}}{2} \right\rfloor, \\
 I_y = \frac{h_2}{3} \left( \bar{p}_{y, \frac{n_1}{2}, j}^- + \bar{p}_{y, i, j}^- + 4 \sum_{s=1}^{k_2} \bar{p}_{y, \frac{n_1}{2} + 2s-1, j}^- + 2 \sum_{s=1}^{k_2-1} \bar{p}_{y, \frac{n_1}{2} + 2s, j}^- \right), k_2 = \left\lfloor \frac{i - \frac{n_2}{2}}{2} \right\rfloor
 \end{cases} \quad (27)$$

За начальную точку для поля давления удобно взять центр каверны  $i = \frac{n_2}{2}, j = \frac{n_1}{2}, p_{\frac{n_1}{2}, \frac{n_2}{2}}^- = 0$ , во - первых,

потому что во внутренних точках все операторы аппроксимируются с 4 порядком погрешности, а во-вторых, в угловой точке (начало координат) не определена нормаль для вычисления первой и второй производной на границе прямоугольника. Проведем две прямые параллельно сторонам каверны через ее центр, тогда давление в узле с индексами (i, j) интегрируется по восьми различным формулам:

$$\left\{ \begin{array}{l}
 1) i > \frac{n_2}{2} \wedge j > \frac{n_1}{2} : k_1 = \frac{j - \frac{n_1}{2}}{2}, k_2 = \frac{i - \frac{n_2}{2}}{2}, \bar{p}_{i,j} = I_x + I_y; 2) i < \frac{n_2}{2} \wedge j > \frac{n_1}{2} : k_1 = \frac{j - \frac{n_1}{2}}{2}, k_2 = \frac{\frac{n_2}{2} - i}{2}, \bar{p}_{i,j} = I_x - I_y \\
 3) i > \frac{n_2}{2} \wedge j < \frac{n_1}{2} : k_1 = \frac{\frac{n_1}{2} - j}{2}, k_2 = \frac{i - \frac{n_2}{2}}{2}, \bar{p}_{i,j} = -I_x + I_y; 4) i > \frac{n_2}{2} \wedge j < \frac{n_1}{2} : k_1 = \frac{\frac{n_1}{2} - j}{2}, k_2 = \frac{i - \frac{n_2}{2}}{2}, \bar{p}_{i,j} = -I_x + I_y \\
 5) i > \frac{n_2}{2} \wedge j = \frac{n_1}{2} : k_2 = \frac{i - \frac{n_2}{2}}{2}, \bar{p}_{i,j} = I_y; 6) i < \frac{n_2}{2} \wedge j = \frac{n_1}{2} : k_2 = \frac{\frac{n_2}{2} - i}{2}, \bar{p}_{i,j} = -I_y \\
 7) i = \frac{n_2}{2} \wedge j > \frac{n_1}{2} : k_1 = \frac{j - \frac{n_1}{2}}{2}, \bar{p}_{i,j} = I_x; 8) i = \frac{n_2}{2} \wedge j < \frac{n_1}{2} : k_1 = \frac{\frac{n_1}{2} - j}{2}, \bar{p}_{i,j} = -I_x
 \end{array} \right. \quad (28)$$

На рисунке 1 показаны профили давления на отрезках  $x=0.5$  и  $y=0.5$  для  $Re=1000$ , полученные по формулам (24)-(28).

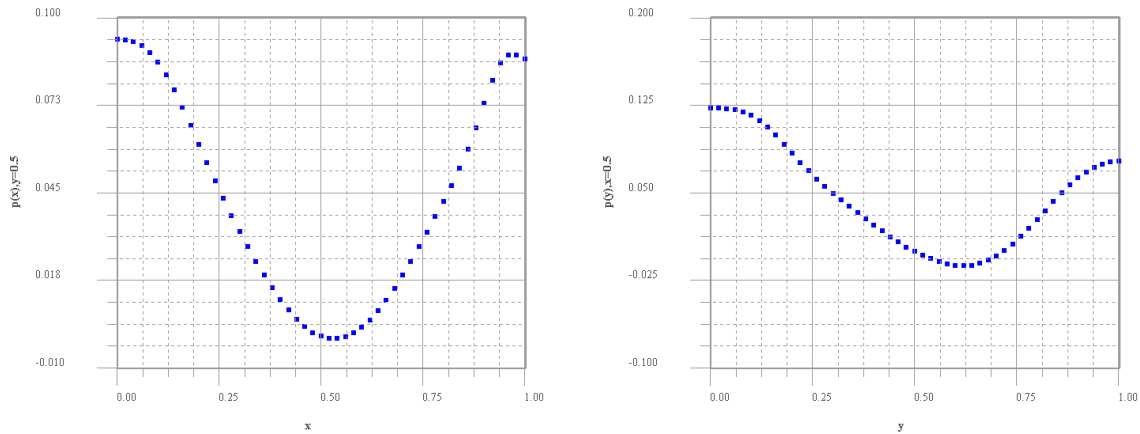


Рис.1. Зависимость давления на отрезках  $y=0.5$  и  $x=0.5$  для  $Re=1000$

Отметим абсолютный минимум на обоих профилях давления Рис.1, а также то, что давление на левой стенке ( $x=0$ ) на первом профиле больше чем на правой стенке ( $x=1$ ). На втором профиле давление на дне ( $y=0$ ) больше давления на верхней крышке ( $y=1$ ), как в и работе [5]. Отметим, что на твердых неподвижных стенках  $\partial p / \partial x|_{y=0.5, x=0} = \partial p / \partial x|_{y=0.5, x=1} = \partial p / \partial y|_{x=0.5, y=0} = \partial p / \partial y|_{x=0.5, y=1} = 0$ , что не противоречит Рис.1. В системе уравнений Навье – Стокса (4) не задано гидростатическое давление, так как оно одно не способно вызвать вихревое движение само по себе.

Отметим, что в работе Фомина А.А., Фоминой Л.Н. [5] колебание значений давления составило 0.05 и 0.1 соответственно на отрезках  $x=0.5$  и  $y=0.5$  для чисел Рейнольдса 10000-20000. На Рис.1 колебания профилей давления соответственно равны 0.125 и 0.1 (безразмерное время равно 15 масштабов) для числа Рейнольдса 1000. Отметим также, что на поверхностях поля давления Рис. 1-7 все безразмерные величины не превосходят 1, как и следует ожидать из теории размерностей и подобия. А структура поля давления соответствует структуре в работе Д. Б. Гурова и др. Численное моделирование течений жидкости в каверне на основе квазигидродинамической системы уравнений (для числа Рейнольдса 1000).

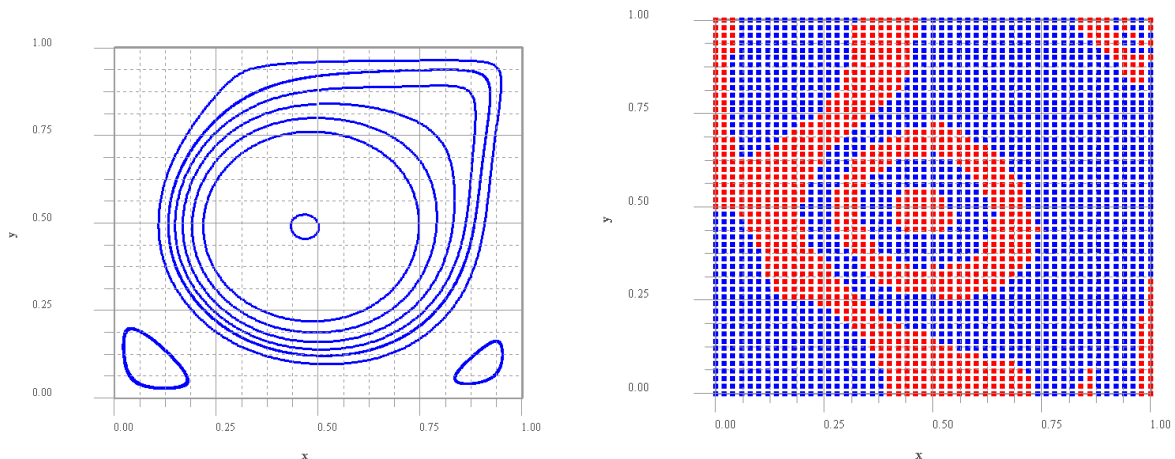


Рис. 2. Поле линий тока и поле давления для числа Рейнольдса  $Re=1000$

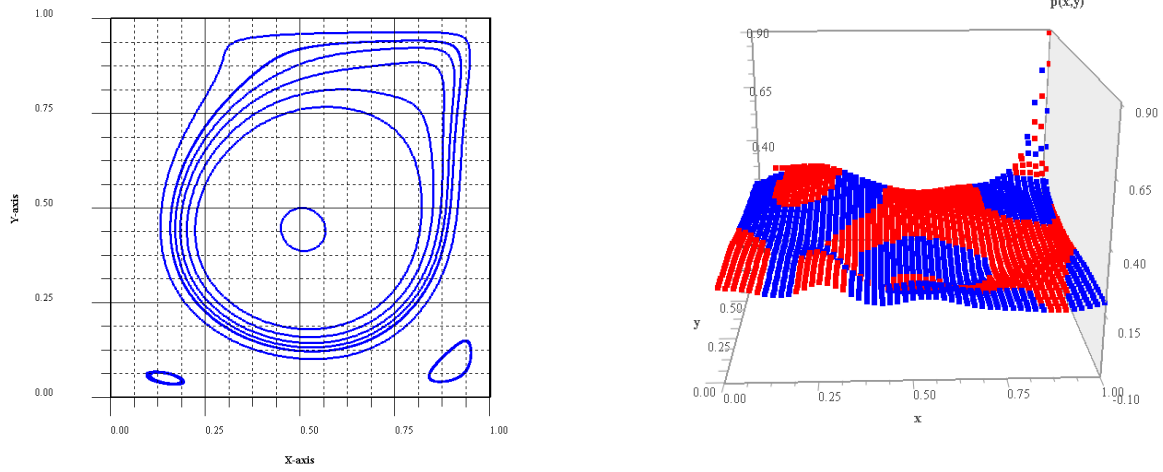


Рис. 3. Поле линий тока и поле давления для числа Рейнольдса  $Re=800$

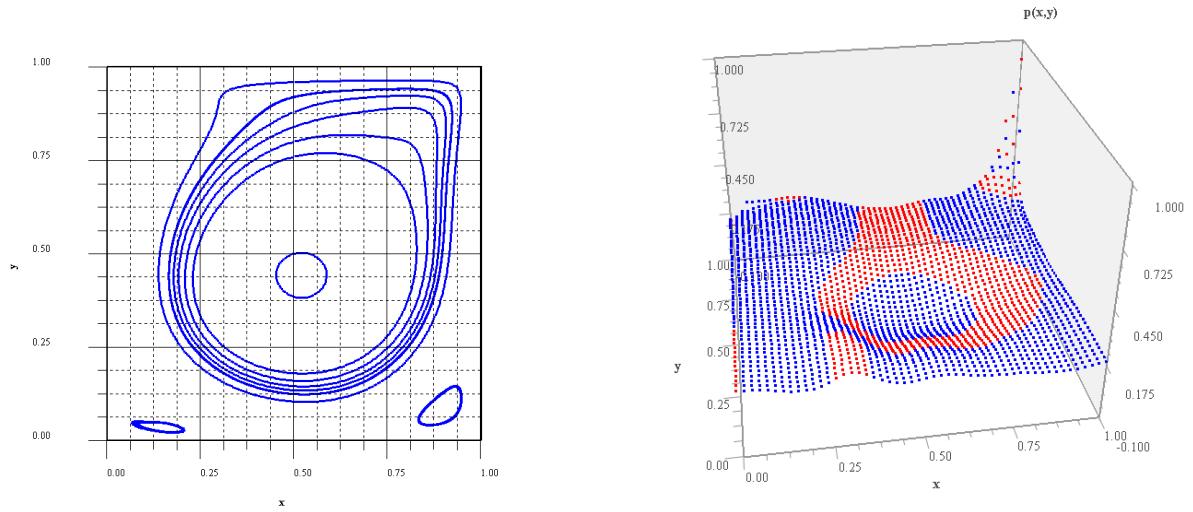


Рис. 4. Поле линий тока и поле давления для числа Рейнольдса  $Re=770$

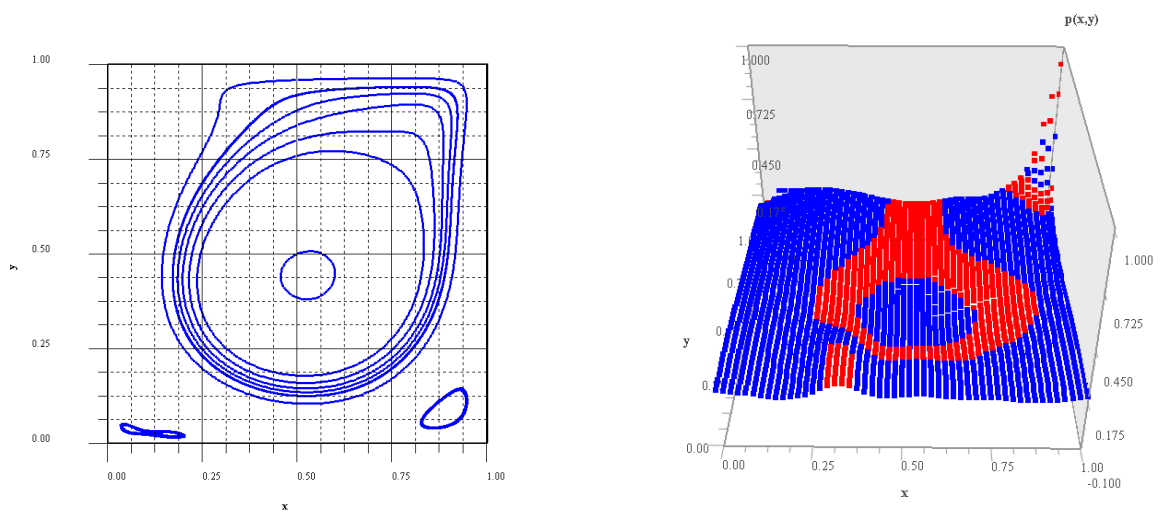


Рис. 5. Поле линий тока и поле давления для числа Рейнольдса  $Re=750$



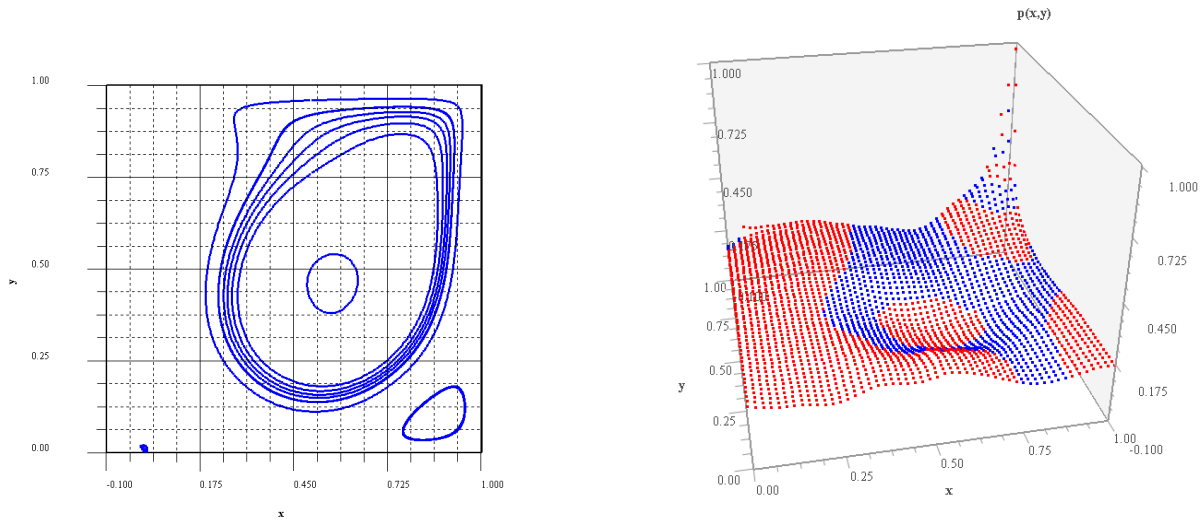


Рис. 6. Поле линий тока и поле давления для числа Рейнольдса  $Re=600$

На рисунках 2-6 показана динамика деформации вторичных вихрей у дна при квазистатическом уменьшении скорости на верхней крышке каверны и соответственно числах Рейнольдса от 1000 до 600 (безразмерное время 15 масштабов). При числе  $Re=1000$  у дна каверны расположены два вторичных симметричных вихря (Рис.2). На рисунках 2-6 левый нижний вторичный вихрь ( $x=0.3, y=0$ ) расположен в области максимума давления. Правый нижний вихрь ( $x=0.87, y=0$ ) расположен в области минимума давления с небольшим градиентом. Из рисунков и системы уравнений(4) следует, что правый нижний вихрь более устойчив чем левый, так как окружающая среда действует с силой направленной против градиента давления, удерживает правый вихрь у дна в области минимума. Левый вихрь градиентные силы отталкивают к левой стенке и одновременно поворачивают его ось симметрии против часовой стрелки, как на рисунках 3,4, сплющивая вихрь в эллипс при  $Re=800,770$ . При  $Re=750$  (Рис.5) на левом вихре появляется перемычка, возможно, происходит его дробление на части и дальнейшая диссипация, так что при  $Re=600$  левый вторичный вихрь исчезает (Рис.6).

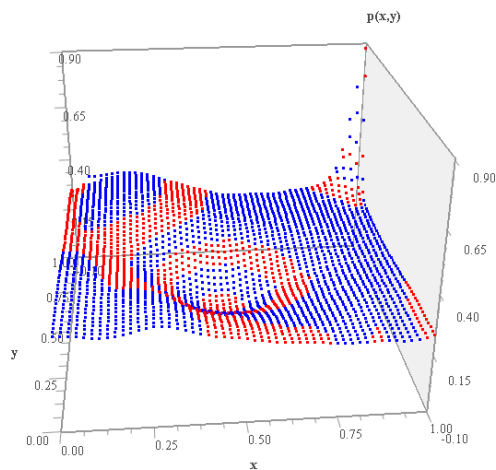


Рис. 7. Поверхность поля давления для числа Рейнольдса  $Re=1000$

Отметим, что в задаче (1)-(25) разностные производные имеют 4-ый порядок аппроксимации  $O(h^4)$ . Гидродинамическую систему уравнений(1)-(2) необходимо исследовать на устойчивость относительно волновых возмущений (уравнение Орра-Зоммерфельда). В реальной системе всегда возникают возмущения, пусть даже малой амплитуды. Перспективные методы для решения нелинейных уравнений в частных производных (методы параметризации) разработал д.ф.-м.н., профессор К.А. Волосов[6]-[12]. Важность полученных результатов К.А. Волосовым для исследования гидродинамических задач указывали академики В.И. Арнольд и В.П. Маслов.

#### Литература:

1. Волосова Н.К., Басараб М.А., Волосов К.А., Волосова А.К., Пастухов Д.Ф., Пастухов Ю.Ф. О роли профиля скорости на верхнем отрезке в гидродинамической задаче для прямоугольной каверны // Евразийское Научное Объединение. – 2020. № 5-1 (63). С. 11-17.

2. A. Salih Streamfunction - Vorticity Formulation // Department of Aerospace Engineering Indian Institute of Space Science and Technology, Thiruvananthapuram-Mach 2013. p.10.
3. Волосова Н.К. О конечных методах решения уравнения Пуассона на прямоугольнике с краевым условием Дирихле // Вестник Полоцкого университета. Серия С. Фундаментальные науки. – 2020. – № 4. – С. 78–92.
4. Волосова Н.К., Басараб М.А., Волосов К.А., Волосова А.К., Пастухов Д.Ф., Пастухов Ю.Ф. Модифицированное разностное уравнение К.Н. Волкова для уравнения Пуассона на прямоугольнике с шестым порядком погрешности // Евразийское Научное Объединение. – 2020. № 3-1 (61). С. 4–11.
5. Фомин А.А., Фомина Л.Н. Численное моделирование течения жидкости в плоской каверне при больших числах Рейнольдса // Вычислительная механика сплошных сред. 2014. Т.7. №4. С. 363–377.
6. Волосов К.А., Данилов В.Г., Колобов Н.А., Маслов В.П. Доклады академии наук СССР. 1986. Т.33. С.517
7. Volosov K.A., Danilov V.G., Maslov V.P. Structure of a weak discontinuity of solutions of quasilinear degenerate parabolic equations // Mathematical Notes. 1988. Т.43. №6. С. 479–485.
8. Danilov V.G., Maslov V.P., Volosov K.A. Mathematical modeling of heat and mass transfer // Originally published in Russian / Dordrecht, 1995.
9. Волосов К.А. Одевание решений для некоторых неинтегрируемых задач и некоторые инвариантные свойства анзаца метода Хироты // Дифференциальные уравнения. 2005. Т.41. № 11. С. 1572–1575.
10. Волосов К.А. О собственных функциях структур, описываемых моделью “мелкой воды” на плоскости // Фундаментальная и прикладная математика. 2006. Т. 12. № 6. С. 17–32.
11. Волосов К.А. Построение решений квазилинейных параболических уравнений в параметрическом виде // Дифференциальные уравнения, 2007, Т.43, №4., С.492–497.
12. Волосов К.А. Новый метод построения решений уравнений с частными производными в параметрической форме // Известия Российского государственного педагогического университета им. А.И. Герцена. 2007. Т.7. № 26. С. 13–20.
13. Волосов К.А. Конструкция решений квазилинейных уравнений с частными производными // Сибирский журнал индустриальной математики 2008, т.11, н.2(34), С. 29–39 .
14. Пастухов Д.Ф. Аппроксимация уравнения Пуассона на прямоугольнике повышенной точности / Д.Ф. Пастухов, Ю.Ф. Пастухов // Вестник Полоцкого университета. Серия С. Фундаментальные науки. – 2017. – № 12. – С. 62–77.
15. Вакуленко С.П., Волосова Н.К., Пастухов Д.Ф. Способы передачи QR-кода в стеганографии / С.П. Вакуленко, Н.К. Волосова, Д.Ф. Пастухов // Мир транспорта. – 2018. Т.16. № 5(78). С. 14–25.
16. Пастухов Д.Ф., Волосова Н.К., Волосова А.К. Некоторые методы передачи QR-кода в стеганографии / Д.Ф. Пастухов, Н.К. Волосова, А.К. Волосова // Мир транспорта. – 2019. Т.17. № 3(82). С. 16–39.